

CONIDUR®

PRESSURE DROP CURVES



PRESSURE DROP CURVES

DRUCKVERLUST ALS FUNKTION DER ANSTRÖMGESCHWINDIGKEIT

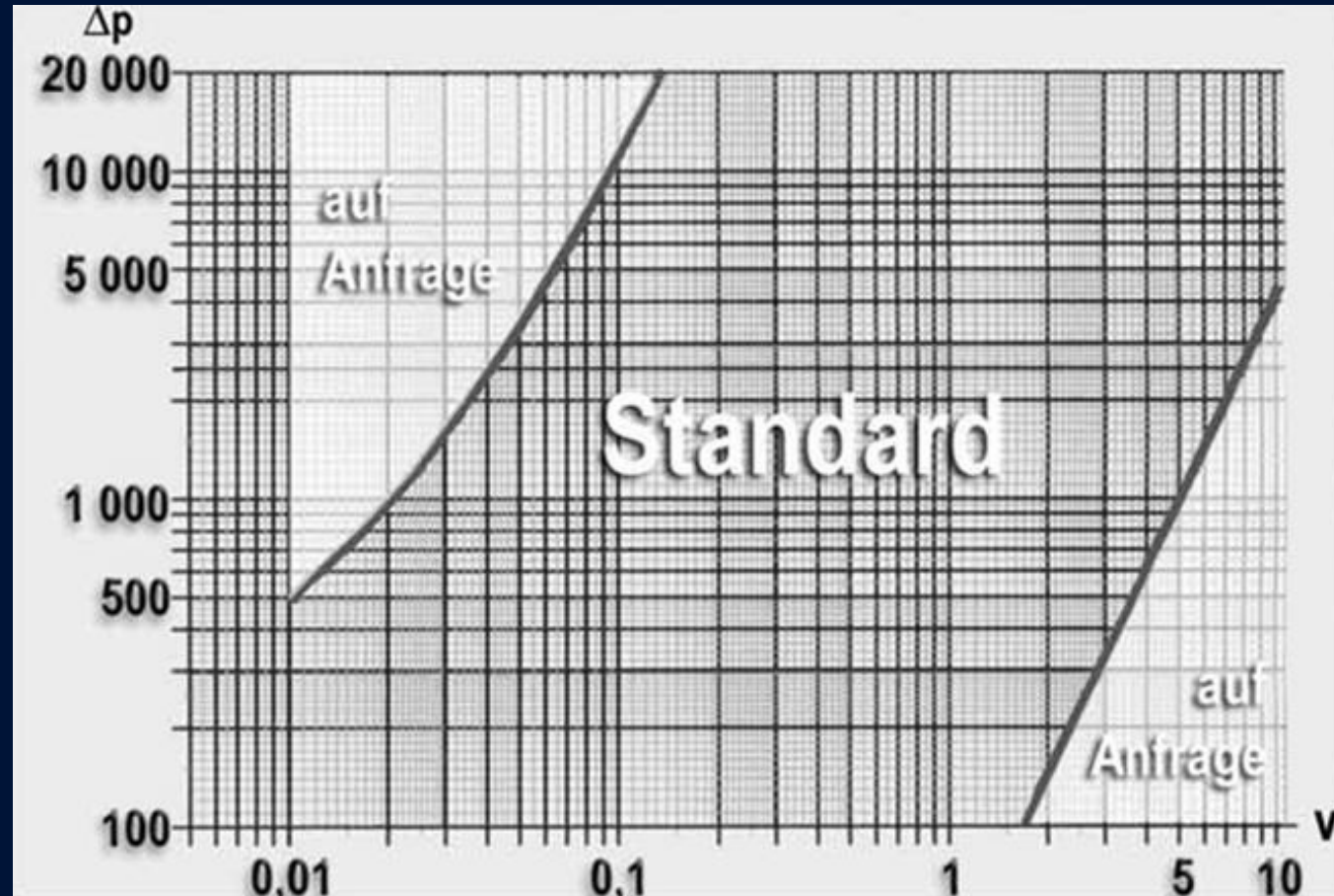
Medium: Luft
Medium: air
Média: air

PRESSURE DROP AS FUNCTION OF THE APPROACH VELOCITY

Temperatur: 20 °C
Temperature: 20 °C
Température: 20 °C

PERTE DE CHARGE EN FONCTION DE LA VITESSE DU FLUX

Luftdruck: 1010 hPa
Airpressure: 1010 hPa
Pression d'air: 1010 hPa



Druckverlust Δp in Pa
Pressure drop Δp in Pa
Perte de charge Δp en Pa

100 Pa = 10 mm WS
100 Pa = 10 mm WG
100 Pa = 10 mm CE

Anströmgeschw. v in m/s
Approach velocity v in m/s
Vitesse du flux v en m/s

Diese Druckverlustbereiche sind mit CONIDUR®-Feinlochblechen in Abhängigkeit von der geforderten Ausgangsblechdicke zu erreichen.

Die maximale Ausgangsblechdicke beträgt 2,5 mm.

These pressure drop ranges can be achieved with CONIDUR® Fine Hole Sheets depending on the required initial thickness.

The maximum initial sheet thickness is 2.5 mm.

Cette gamme de pertes de charges peut être obtenue avec les Tôles Perforées CONIDUR® à Petit Trous en fonction de l'épaisseur initiale des tôles utilisées.

L'épaisseur initiale maximale est de 2.5 mm.



PRESSURE DROP CURVES

DRUCKVERLUST ALS FUNKTION DER ANSTRÖMGESCHWINDIGKEIT

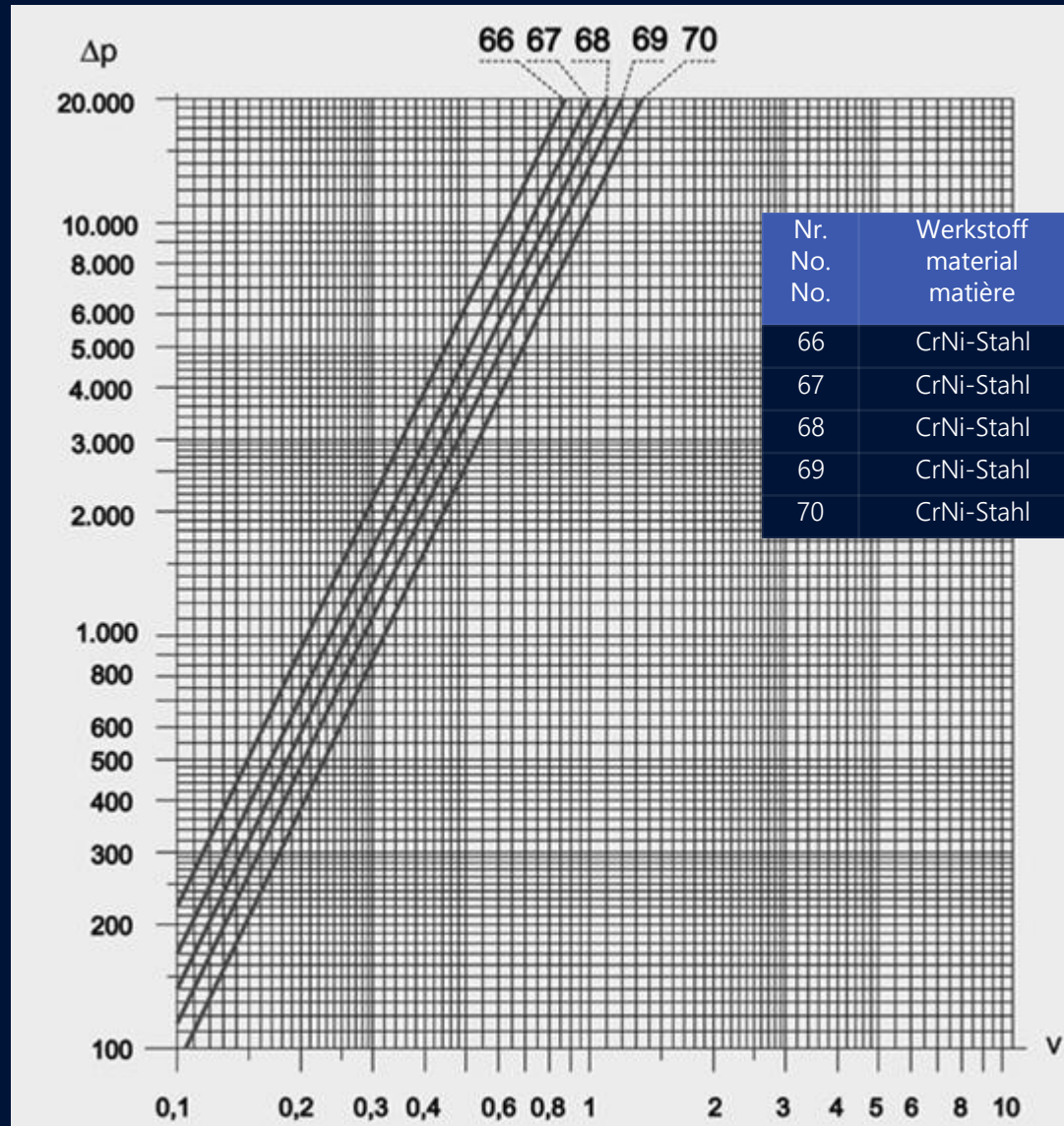
Medium: Luft
Medium: air
Média: air

PRESSURE DROP AS FUNCTION OF THE APPROACH VELOCITY

Temperatur: 20 °C
Temperature: 20 °C
Température: 20 °C

PERTE DE CHARGE EN FONCTION DE LA VITESSE DU FLUX

Luftdruck: 1010 hPa
Airpressure: 1010 hPa
Pression d'air: 1010 hPa



Nr. No. No.	Werkstoff material matière	Ausgangsblechdicke initial thickness épaisseur initiale	Lochung perforation perforation
66	CrNi-Stahl	0,5 / 0,7 / 1,0 / 1,25	0,30-0,35
67	CrNi-Stahl	0,5 / 0,7 / 1,0 / 1,25	0,30-0,35
68	CrNi-Stahl	0,5 / 0,7 / 1,0 / 1,25	0,30-0,35
69	CrNi-Stahl	0,5 / 0,7 / 1,0 / 1,25	0,30-0,35
70	CrNi-Stahl	0,5 / 0,7 / 1,0 / 1,25	0,30-0,35

Druckverlust Δp in Pa
Pressure drop Δp in Pa
Perte de charge Δp en Pa

100 Pa = 10 mm WS
100 Pa = 10 mm WG
100 Pa = 10 mm CE

Anströmgeschw. v in m/s
Approach velocity v in m/s
Vitesse du flux v en m/s



PRESSURE DROP CURVES

DRUCKVERLUST ALS FUNKTION DER ANSTRÖMGESCHWINDIGKEIT

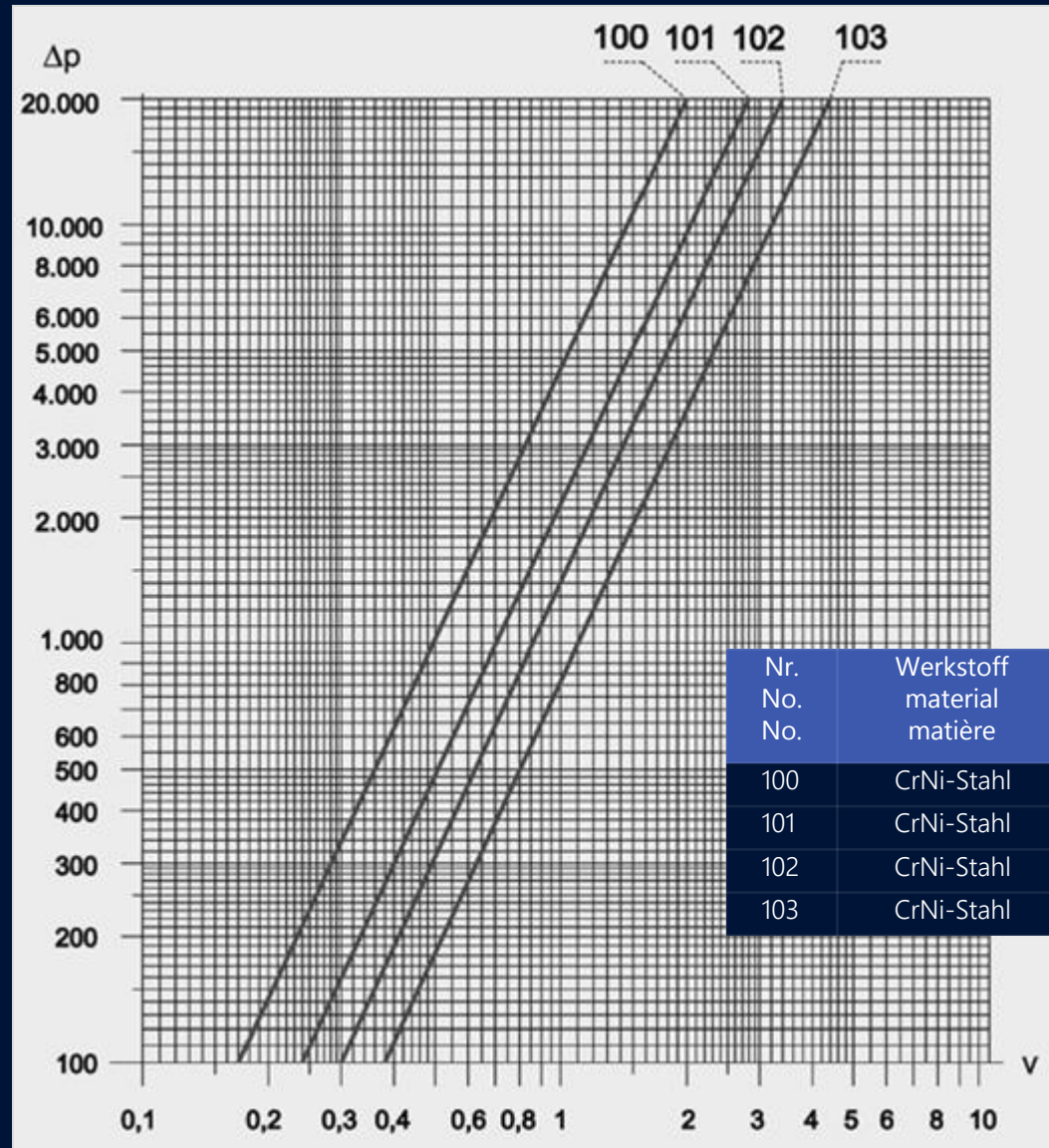
Medium: Luft
Medium: air
Média: air

PRESSURE DROP AS FUNCTION OF THE APPROACH VELOCITY

Temperatur: 20 °C
Temperature: 20 °C
Température: 20 °C

PERTE DE CHARGE EN FONCTION DE LA VITESSE DU FLUX

Luftdruck: 1010 hPa
Airpressure: 1010 hPa
Pression d'air: 1010 hPa



Druckverlust Δp in Pa
Pressure drop Δp in Pa
Perte de charge Δp en Pa

100 Pa = 10 mm WS
100 Pa = 10 mm WG
100 Pa = 10 mm CE

Anströmgeschw. v in m/s
Approach velocity v in m/s
Vitesse du flux v en m/s

Nr. No. No.	Werkstoff material matière	Ausgangsblechdicke initial thickness épaisseur initiale	Lochung perforation perforation
100	CrNi-Stahl	0,5 / 0,7 / 1,0 / 1,25 / 1,5	0,30
101	CrNi-Stahl	0,5 / 0,7 / 1,0 / 1,25 / 1,5	0,35
102	CrNi-Stahl	0,5 / 0,7 / 1,0 / 1,25 / 1,5	0,35
103	CrNi-Stahl	0,5 / 0,7 / 1,0 / 1,25 / 1,5	0,35



PRESSURE DROP CURVES

DRUCKVERLUST ALS FUNKTION DER ANSTRÖMGESCHWINDIGKEIT

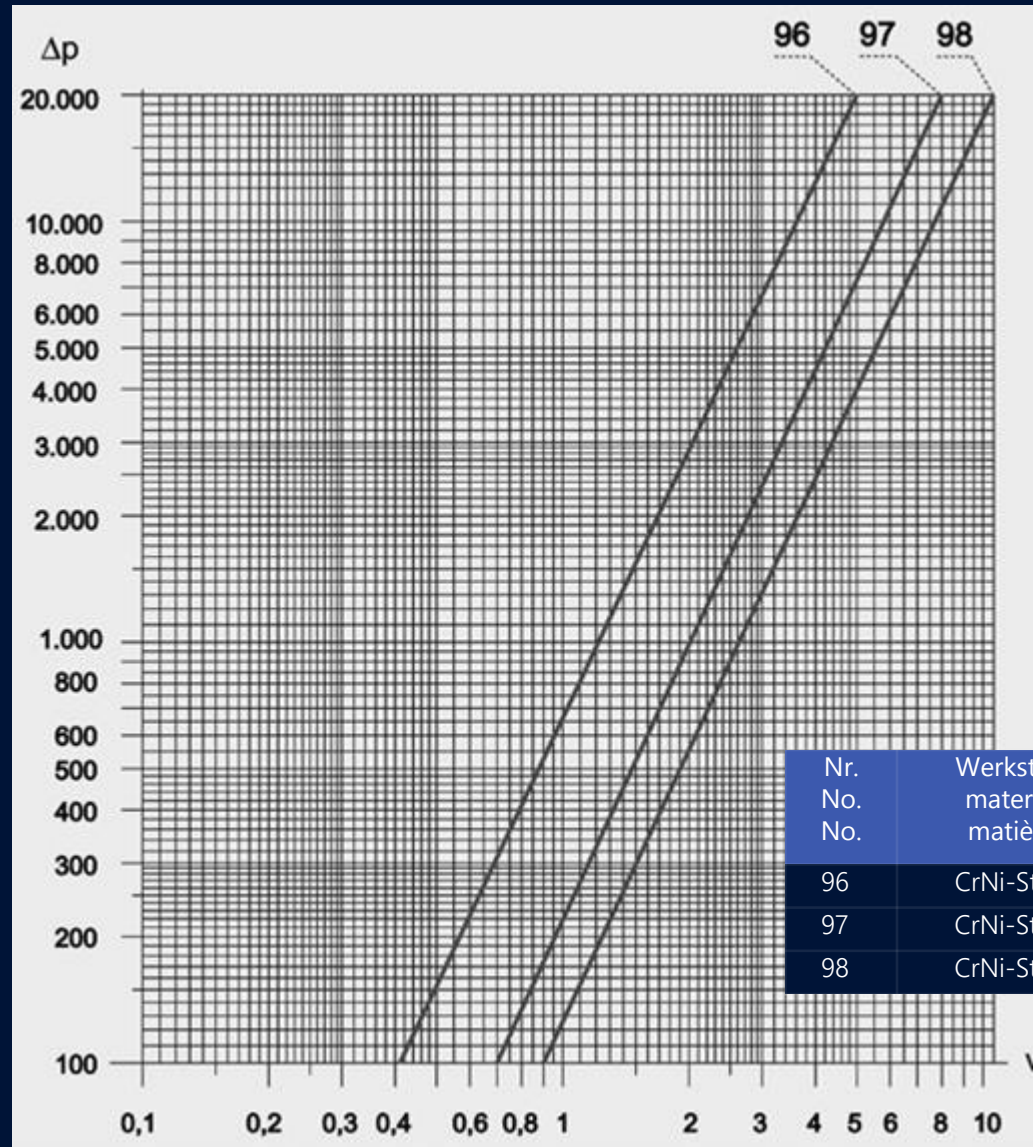
Medium: Luft
Medium: air
Média: air

PRESSURE DROP AS FUNCTION OF THE APPROACH VELOCITY

Temperatur: 20 °C
Temperature: 20 °C
Température: 20 °C

PERTE DE CHARGE EN FONCTION DE LA VITESSE DU FLUX

Luftdruck: 1010 hPa
Airpressure: 1010 hPa
Pression d'air: 1010 hPa



Druckverlust Δp in Pa
Pressure drop Δp in Pa
Perte de charge Δp en Pa

100 Pa = 10 mm WS
100 Pa = 10 mm WG
100 Pa = 10 mm CE

Anströmgeschw. v in m/s
Approach velocity v in m/s
Vitesse du flux v en m/s

Nr. No. No.	Werkstoff material matière	Ausgangsblechdicke initial thickness épaisseur initiale	Lochung perforation perforation
96	CrNi-Stahl	0,5 / 0,7 / 1,0	0,35
97	CrNi-Stahl	0,5 / 0,7 / 1,0	0,40
98	CrNi-Stahl	0,5 / 0,7 / 1,0	0,45



PRESSURE DROP CURVES

DRUCKVERLUST ALS FUNKTION DER ANSTRÖMGESCHWINDIGKEIT

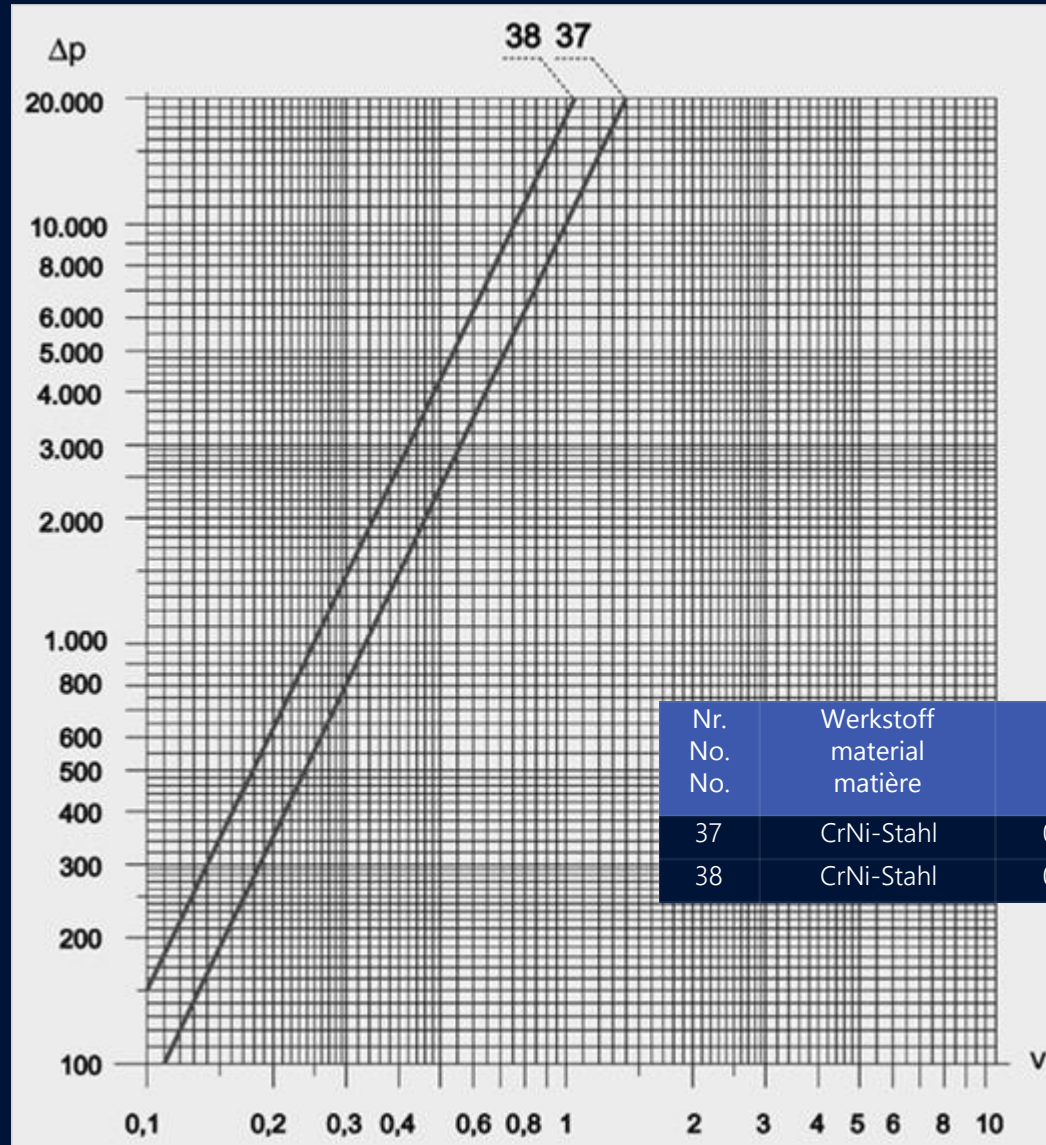
Medium: Luft
Medium: air
Média: air

PRESSURE DROP AS FUNCTION OF THE APPROACH VELOCITY

Temperatur: 20 °C
Temperature: 20 °C
Température: 20 °C

PERTE DE CHARGE EN FONCTION DE LA VITESSE DU FLUX

Luftdruck: 1010 hPa
Airpressure: 1010 hPa
Pression d'air: 1010 hPa



Druckverlust Δp in Pa
Pressure drop Δp in Pa
Perte de charge Δp en Pa

100 Pa = 10 mm WS
100 Pa = 10 mm WG
100 Pa = 10 mm CE

Anströmgeschw. v in m/s
Approach velocity v in m/s
Vitesse du flux v en m/s

Nr. No. No.	Werkstoff material matière	Ausgangsblechdicke initial thickness épaisseur initiale	Lochung perforation perforation
37	CrNi-Stahl	0,5 / 0,7 / 1,0 / 1,25 / 1,5 / 2,0 / 2,5	0,45
38	CrNi-Stahl	0,5 / 0,7 / 1,0 / 1,25 / 1,5 / 2,0 / 2,5	0,35-0,40



PRESSURE DROP CURVES

DRUCKVERLUST ALS FUNKTION DER ANSTRÖMGESCHWINDIGKEIT

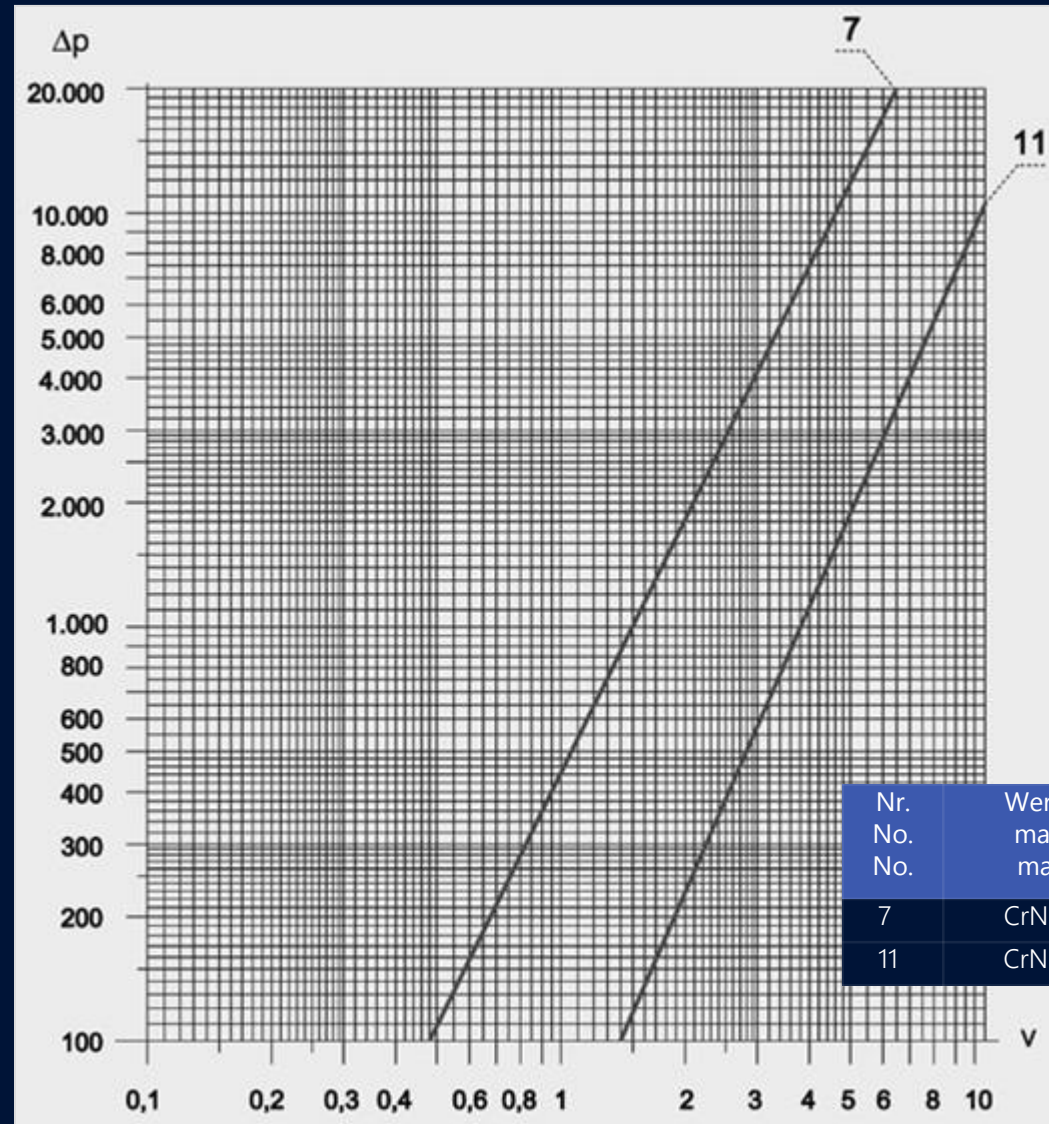
Medium: Luft
Medium: air
Média: air

PRESSURE DROP AS FUNCTION OF THE APPROACH VELOCITY

Temperatur: 20 °C
Temperature: 20 °C
Température: 20 °C

PERTE DE CHARGE EN FONCTION DE LA VITESSE DU FLUX

Luftdruck: 1010 hPa
Airpressure: 1010 hPa
Pression d'air: 1010 hPa



Druckverlust Δp in Pa
Pressure drop Δp in Pa
Perte de charge Δp en Pa

100 Pa = 10 mm WS
100 Pa = 10 mm WG
100 Pa = 10 mm CE

Anströmgeschw. v in m/s
Approach velocity v in m/s
Vitesse du flux v en m/s

Nr. No. No.	Werkstoff material matière	Ausgangsblechdicke initial thickness épaisseur initiale	Lochung perforation perforation
7	CrNi-Stahl	0,5 / 0,7	0,20
11	CrNi-Stahl	0,5	0,50



PRESSURE DROP CURVES

DRUCKVERLUST ALS FUNKTION DER ANSTRÖMGESCHWINDIGKEIT

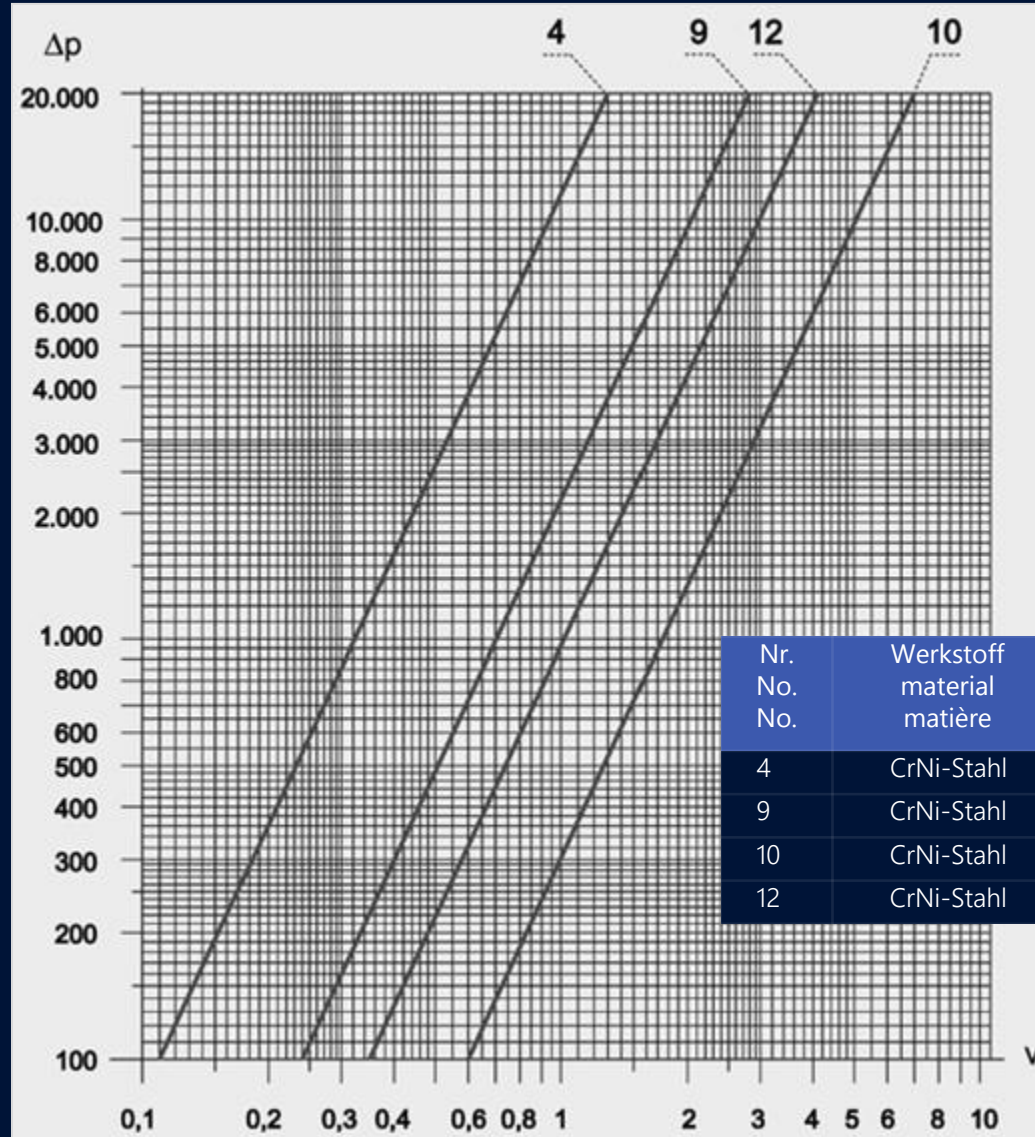
Medium: Luft
Medium: air
Média: air

PRESSURE DROP AS FUNCTION OF THE APPROACH VELOCITY

Temperatur: 20 °C
Temperature: 20 °C
Température: 20 °C

PERTE DE CHARGE EN FONCTION DE LA VITESSE DU FLUX

Luftdruck: 1010 hPa
Airpressure: 1010 hPa
Pression d'air: 1010 hPa



Druckverlust Δp in Pa
Pressure drop Δp in Pa
Perte de charge Δp en Pa

100 Pa = 10 mm WS
100 Pa = 10 mm WG
100 Pa = 10 mm CE

Anströmgeschw. v in m/s
Approach velocity v in m/s
Vitesse du flux v en m/s

Nr. No. No.	Werkstoff material matière	Ausgangsblechdicke initial thickness épaisseur initiale	Lochung perforation perforation
4	CrNi-Stahl	0,5 / 0,7 / 1,0	0,15
9	CrNi-Stahl	0,5 / 0,7 / 1,0	0,15
10	CrNi-Stahl	0,5	0,15-0,17
12	CrNi-Stahl	0,5 / 0,7 / 1,0	0,20



PRESSURE DROP CURVES

DRUCKVERLUST ALS FUNKTION DER ANSTRÖMGESCHWINDIGKEIT

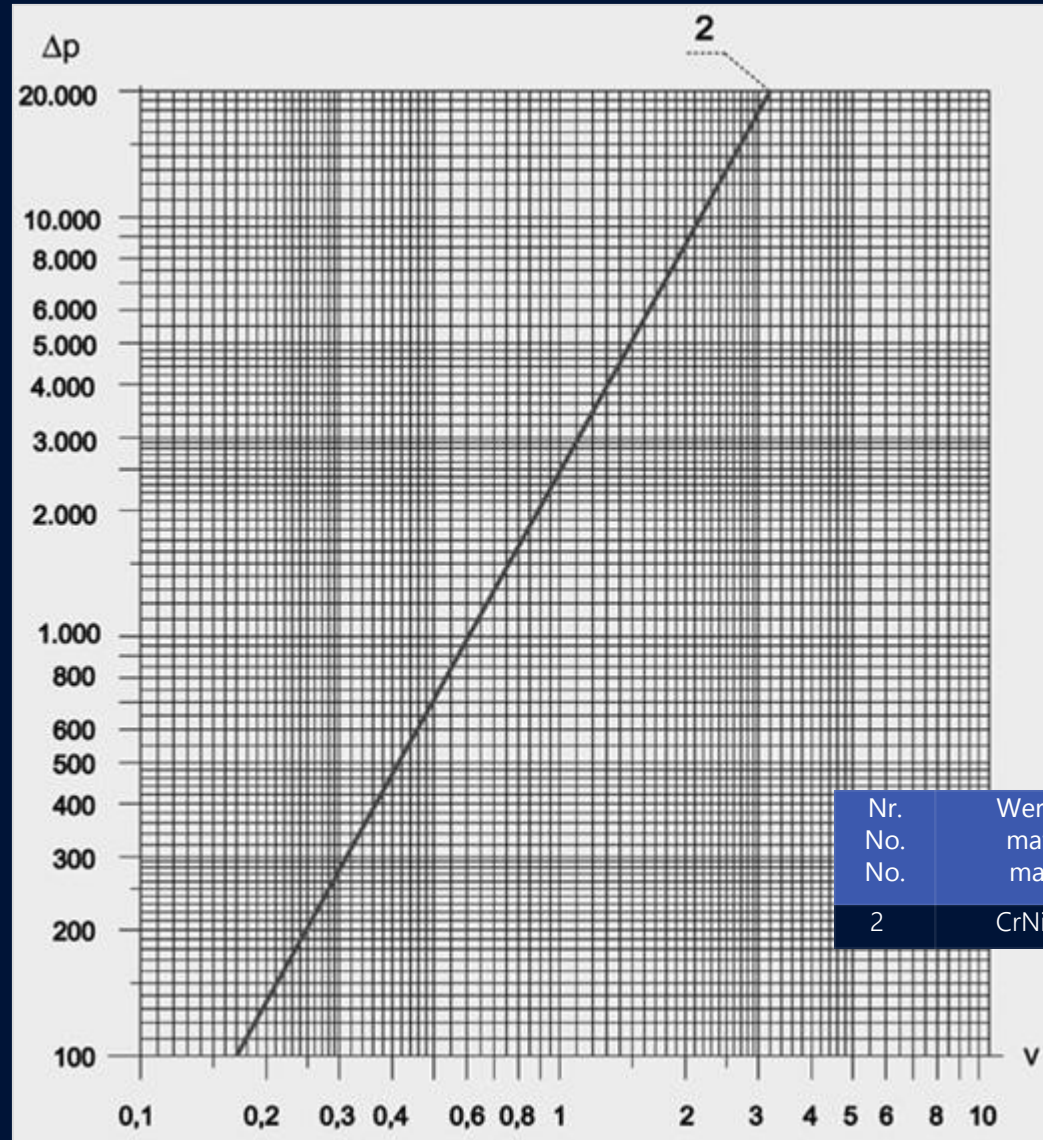
Medium: Luft
Medium: air
Média: air

PRESSURE DROP AS FUNCTION OF THE APPROACH VELOCITY

Temperatur: 20 °C
Temperature: 20 °C
Température: 20 °C

PERTE DE CHARGE EN FONCTION DE LA VITESSE DU FLUX

Luftdruck: 1010 hPa
Airpressure: 1010 hPa
Pression d'air: 1010 hPa



Druckverlust Δp in Pa
Pressure drop Δp in Pa
Perte de charge Δp en Pa

100 Pa = 10 mm WS
100 Pa = 10 mm WG
100 Pa = 10 mm CE

Anströmgeschw. v in m/s
Approach velocity v in m/s
Vitesse du flux v en m/s

Nr. No. No.	Werkstoff material matière	Ausgangsblechdicke initial thickness épaisseur initiale	Lochung perforation perforation
2	CrNi-Stahl	0,5	0,08



PRESSURE DROP CURVES

DRUCKVERLUST ALS FUNKTION DER ANSTRÖMGESCHWINDIGKEIT

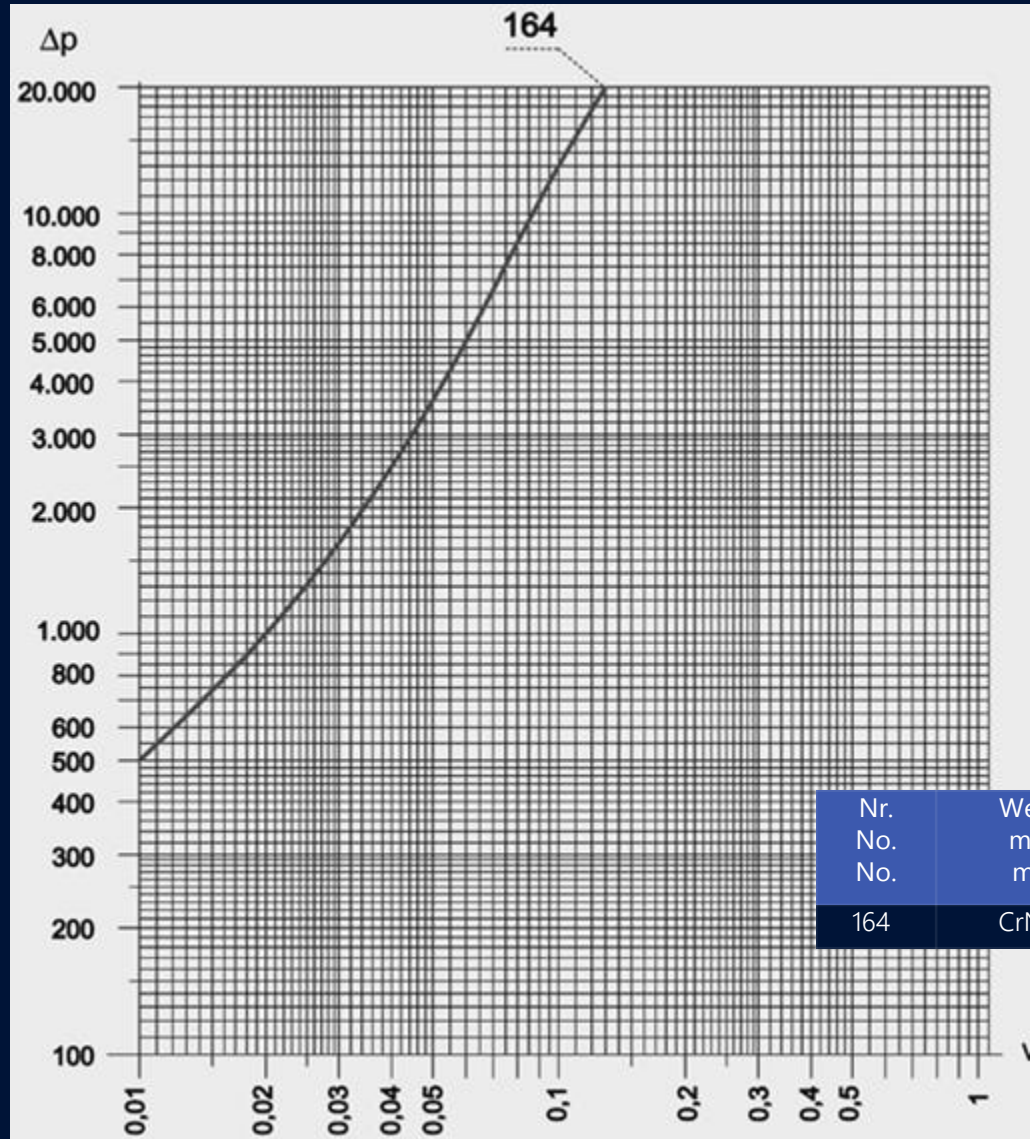
Medium: Luft
Medium: air
Média: air

PRESSURE DROP AS FUNCTION OF THE APPROACH VELOCITY

Temperatur: 20 °C
Temperature: 20 °C
Température: 20 °C

PERTE DE CHARGE EN FONCTION DE LA VITESSE DU FLUX

Luftdruck: 1010 hPa
Airpressure: 1010 hPa
Pression d'air: 1010 hPa



Druckverlust Δp in Pa
Pressure drop Δp in Pa
Perte de charge Δp en Pa

100 Pa = 10 mm WS
100 Pa = 10 mm WG
100 Pa = 10 mm CE

Anströmgeschw. v in m/s
Approach velocity v in m/s
Vitesse du flux v en m/s

Nr. No. No.	Werkstoff material matière	Ausgangsblechdicke initial thickness épaisseur initiale	Lochung perforation perforation
164	CrNi-Stahl	0,5 / 0,7 / 1,0	0,10



PRESSURE DROP CURVES

DRUCKVERLUST ALS FUNKTION DER ANSTRÖMGESCHWINDIGKEIT

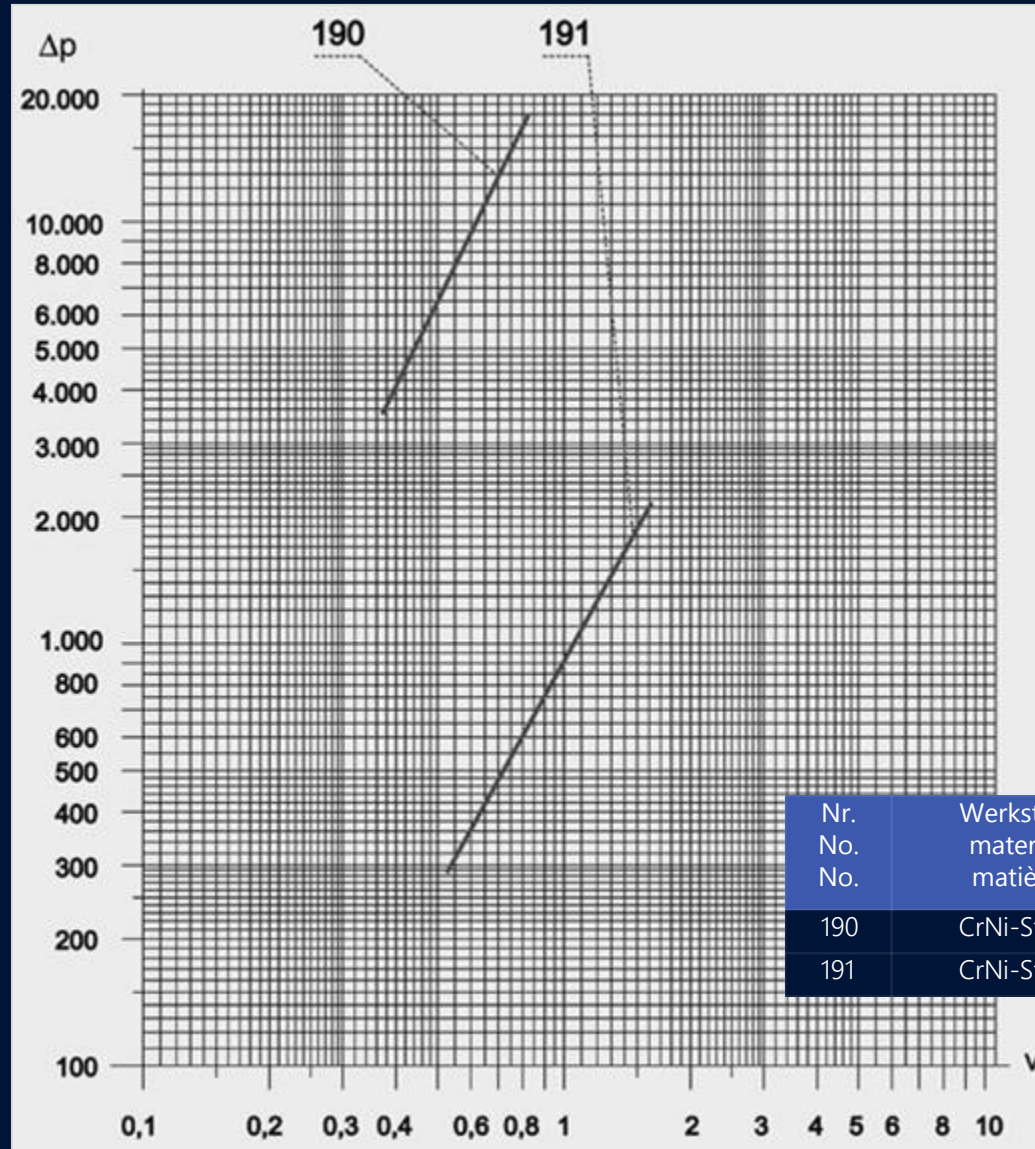
Medium: Luft
Medium: air
Média: air

PRESSURE DROP AS FUNCTION OF THE APPROACH VELOCITY

Temperatur: 20 °C
Temperature: 20 °C
Température: 20 °C

PERTE DE CHARGE EN FONCTION DE LA VITESSE DU FLUX

Luftdruck: 1010 hPa
Airpressure: 1010 hPa
Pression d'air: 1010 hPa



Druckverlust Δp in Pa
Pressure drop Δp in Pa
Perte de charge Δp en Pa

100 Pa = 10 mm WS
100 Pa = 10 mm WG
100 Pa = 10 mm CE

Anströmgeschw. v in m/s
Approach velocity v in m/s
Vitesse du flux v en m/s

Nr. No. No.	Werkstoff material matière	Ausgangsblechdicke initial thickness épaisseur initiale	Lochung perforation perforation
190	CrNi-Stahl	0,5 / 0,7 / 1,0 / 1,25 / 1,5	0,25-0,28
191	CrNi-Stahl	0,5 / 0,7 / 1,0 / 1,25 / 1,5	0,48-0,50



PRESSURE DROP CURVES

DRUCKVERLUST ALS FUNKTION DER ANSTRÖMGESCHWINDIGKEIT

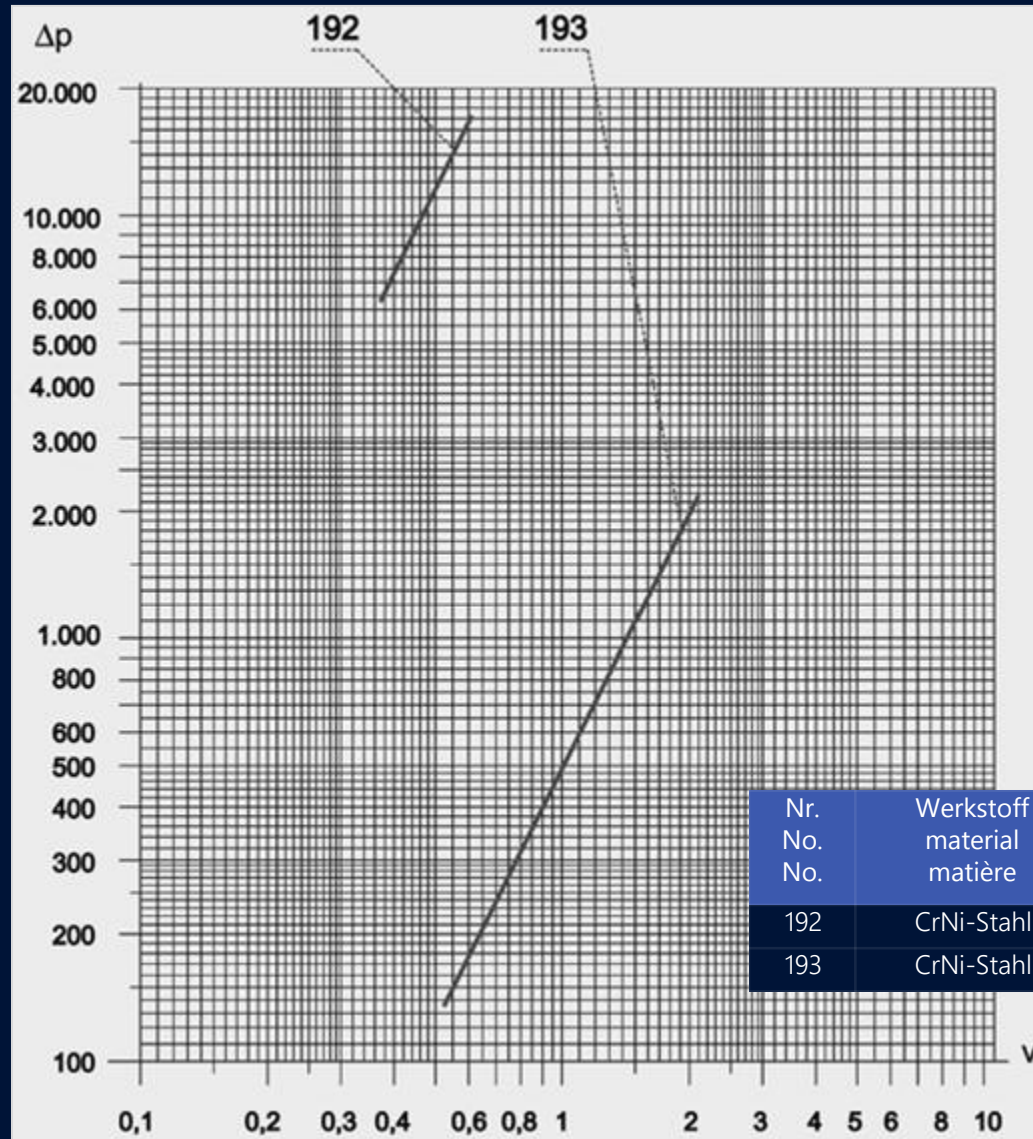
Medium: Luft
Medium: air
Média: air

PRESSURE DROP AS FUNCTION OF THE APPROACH VELOCITY

Temperatur: 20 °C
Temperature: 20 °C
Température: 20 °C

PERTE DE CHARGE EN FONCTION DE LA VITESSE DU FLUX

Luftdruck: 1010 hPa
Airpressure: 1010 hPa
Pression d'air: 1010 hPa



Druckverlust Δp in Pa
Pressure drop Δp in Pa
Perte de charge Δp en Pa

100 Pa = 10 mm WS
100 Pa = 10 mm WG
100 Pa = 10 mm CE

Anströmgeschw. v in m/s
Approach velocity v in m/s
Vitesse du flux v en m/s

Nr. No. No.	Werkstoff material matière	Ausgangsblechdicke initial thickness épaisseur initiale	Lochung perforation perforation
192	CrNi-Stahl	0,5 / 0,7 / 1,0 / 1,25 / 1,5 / 2,0	0,35
193	CrNi-Stahl	0,5 / 0,7 / 1,0 / 1,25 / 1,5 / 2,0	0,50



PRESSURE DROP CURVES

DRUCKVERLUST ALS FUNKTION DER ANSTRÖMGESCHWINDIGKEIT

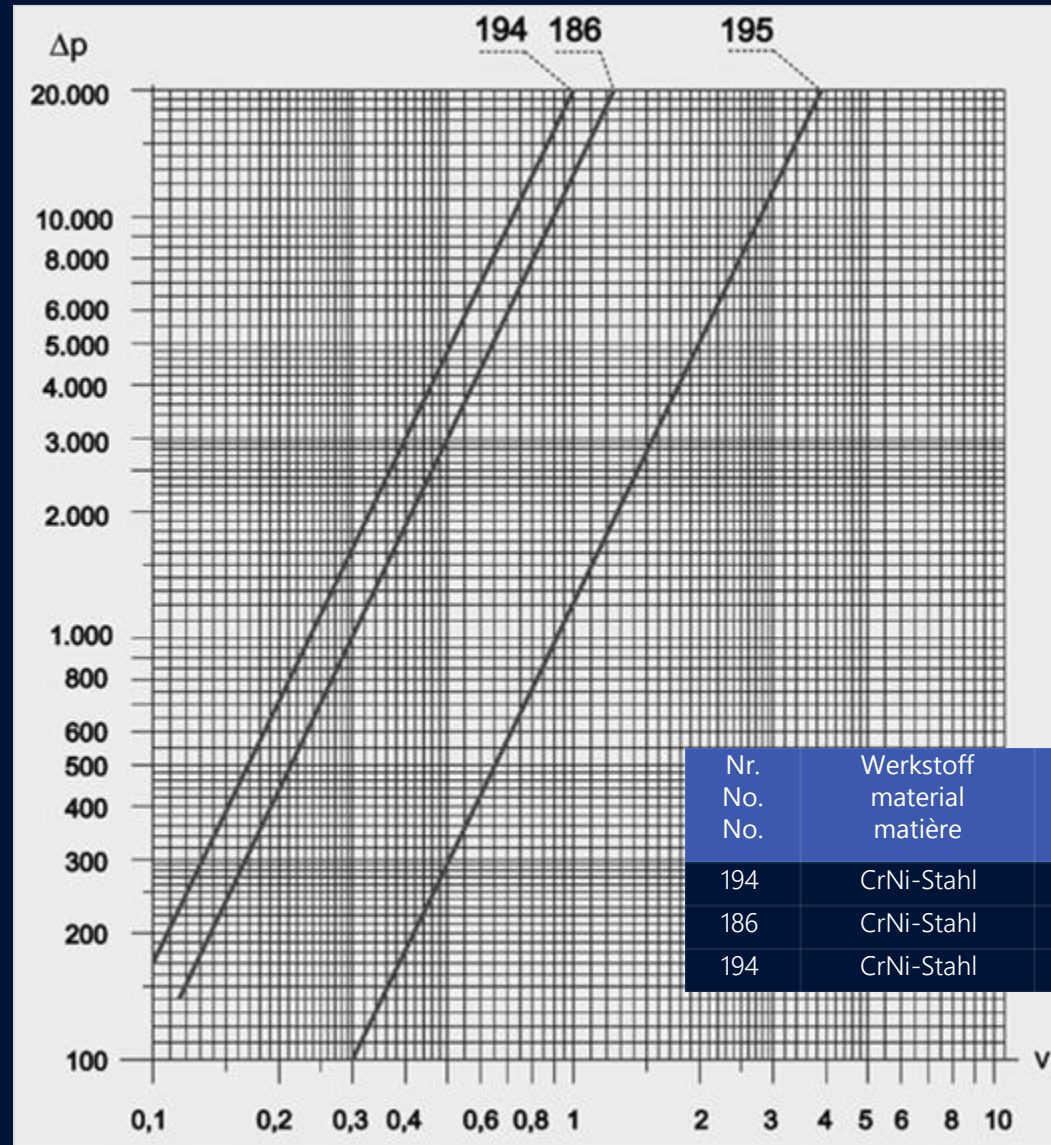
Medium: Luft
Medium: air
Média: air

PRESSURE DROP AS FUNCTION OF THE APPROACH VELOCITY

Temperatur: 20 °C
Temperature: 20 °C
Température: 20 °C

PERTE DE CHARGE EN FONCTION DE LA VITESSE DU FLUX

Luftdruck: 1010 hPa
Airpressure: 1010 hPa
Pression d'air: 1010 hPa



Druckverlust Δp in Pa
Pressure drop Δp in Pa
Perte de charge Δp en Pa

100 Pa = 10 mm WS
100 Pa = 10 mm WG
100 Pa = 10 mm CE

Anströmgeschw. v in m/s
Approach velocity v in m/s
Vitesse du flux v en m/s

Nr. No. No.	Werkstoff material matière	Ausgangsblechdicke initial thickness épaisseur initiale	Lochung perforation perforation
194	CrNi-Stahl	0,5 / 0,7 / 1,0 / 1,25 / 1,5 / 2,0 / 2,5	0,4
186	CrNi-Stahl	0,5 / 0,7 / 1,0 / 1,25 / 1,5 / 2,0 / 2,5	0,4
194	CrNi-Stahl	0,5 / 0,7 / 1,0 / 1,25 / 1,5 / 2,0 / 2,5	0,4



PRESSURE DROP CURVES

DRUCKVERLUST ALS FUNKTION DER ANSTRÖMGESCHWINDIGKEIT

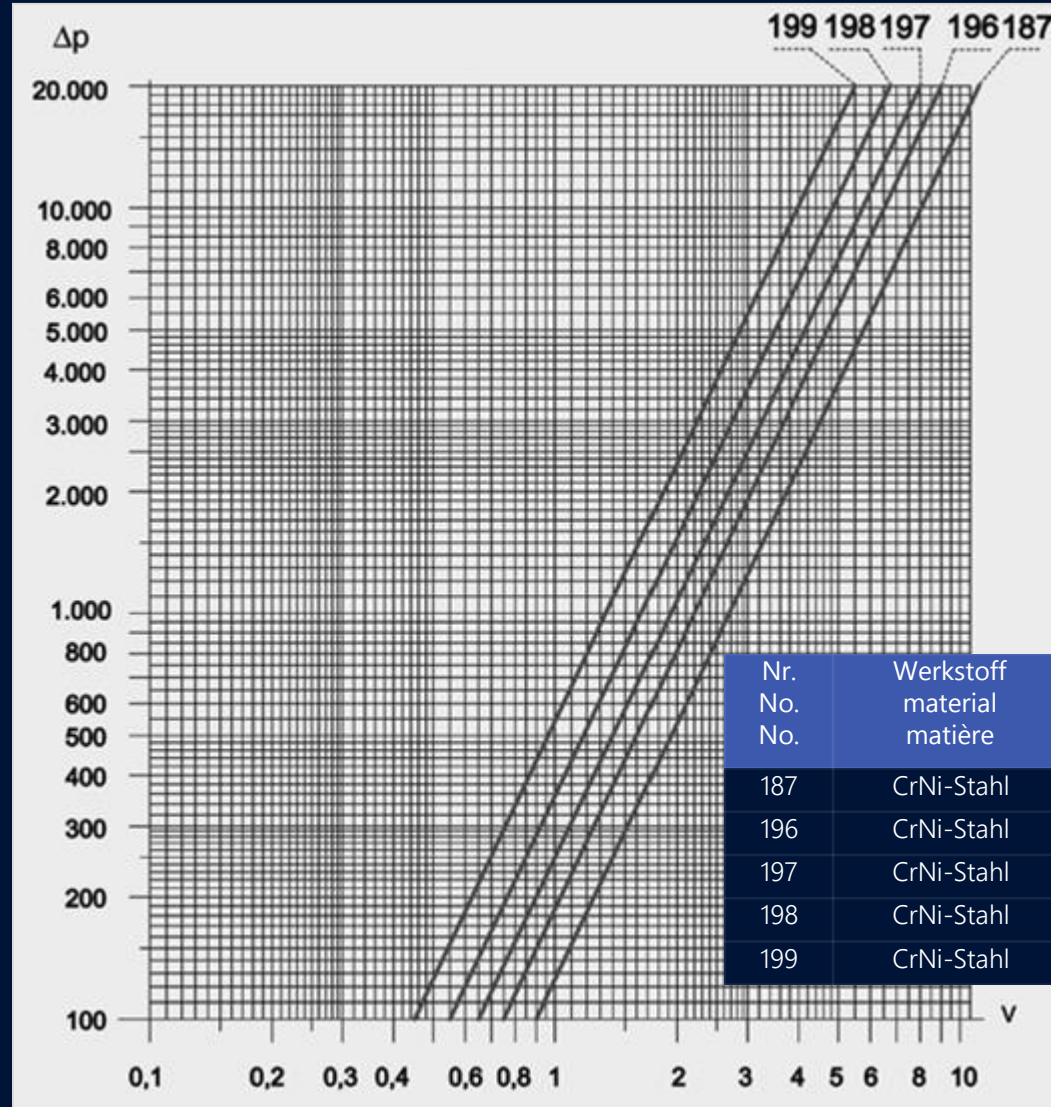
Medium: Luft
Medium: air
Média: air

PRESSURE DROP AS FUNCTION OF THE APPROACH VELOCITY

Temperatur: 20 °C
Temperature: 20 °C
Température: 20 °C

PERTE DE CHARGE EN FONCTION DE LA VITESSE DU FLUX

Luftdruck: 1010 hPa
Airpressure: 1010 hPa
Pression d'air: 1010 hPa



Druckverlust Δp in Pa
Pressure drop Δp in Pa
Perte de charge Δp en Pa

100 Pa = 10 mm WS
100 Pa = 10 mm WG
100 Pa = 10 mm CE

Anströmgeschw. v in m/s
Approach velocity v in m/s
Vitesse du flux v en m/s

Nr. No. No.	Werkstoff material matière	Ausgangsblechdicke initial thickness épaisseur initiale	Lochung perforation perforation
187	CrNi-Stahl	0,7 / 1,0 / 1,25 / 1,5 / 2,0 / 2,5	1,00
196	CrNi-Stahl	0,7 / 1,0 / 1,25 / 1,5 / 2,0 / 2,5	0,80
197	CrNi-Stahl	0,5 / 0,7 / 1,0 / 1,25 / 1,5 / 2,0 / 2,5	0,70
198	CrNi-Stahl	0,5 / 0,7 / 1,0 / 1,25 / 1,5 / 2,0 / 2,5	0,50
199	CrNi-Stahl	0,5 / 0,7 / 1,0 / 1,25 / 1,5 / 2,0 / 2,5	0,40